

# 電力系統動搖波形の自動検出方式による 適応形PSSシステムの構築について

道 上 勉\*

The Development of New Adaptive PSS System for Automatic parametric Modeling  
Techniques of Power System Oscillation Waveforms

Tsutomu Michigami

In Japan, since the development of large power system, there have been spontaneous low-frequency oscillation and local mode oscillation. The conventional PSS has been applied to generators in trunk power system as a measure to improve the damping power oscillation.

However, it is difficult for this PSS to improve the damping power system oscillation because of the hardware and the design of fixed PSS control constants. It has therefore become necessary to develop a new adaptive PSS system. This paper explains the development of new adaptive PSS system and the simulation of low-frequency and local mode oscillation for this new PSS system.

## 1. まえがき

現在の電力系統は大容量送電系統、大規模揚水系統、大規模ケーブル系統の出現ならびに大容量長距離の連系系統で構成され、大規模高密度で複雑化してきている。このような電力系統の系統動搖モードには、単一系統内でのローカル動搖、連系系統間又は多重ループ系統のルート事故などの長周期動搖など種々の動搖モードが存在し、しかも、送電電力の増加や動搖周期の長周期化につれてダンピングが低下する傾向にある。これらの電力動搖を抑制する系統制御面の抑制策として発電機に複数入力形 ( $\Delta P$  形 +  $\Delta \omega$  ( $\Delta f$ ) 形) PSS を設置する方法が一般に適用されている。しかしながら、これらの従来形 PSS はある動搖モードの抑制に焦点を当て制御定数を固定設定する方式が取られ、対象とする動搖周期の近傍領域ではロバスト性を有しているものの抑制動搖モードが複数あったり動搖周期が大幅に変化する場合は十分な抑制効果が期待できないと言える。この解決策として電力系統で事故などの外乱が発生した場合の発電機動搖波形などをオンラインで自動検出し、それに基づき PSS 設計を行う適応形 PSS が有効であると考える。これまでの適応形 PSS は適応制御の手法を用いて制御対象を時々刻々同定したり、物理的な意味合いを持たせた動搖周波数や励磁系の位相遅れを同定し、制御定数を設定する方式などが提案されている。これらの方針は想定したモデルのパラメータ

\* 電気工学科

を最小二乗法やprony 解析法などの手法で同定するものであるが、パラメータの物理的意味が理解しにくいものや同定に長い時間（5秒程度）を要するのがその実態であると考える。

そこで著者らは電力系統で事故などの外乱が発生した場合、物理的意味が明確な発電機出力の動搖波形を系統制御面で許される短時間のオンラインで自動検出し、その動搖特性に基づきPSS設計を行う適応形PSSの開発研究を行ってきた。本稿は懸案であった電力動搖波形を短時間で自動検出しその動搖特性（固有値など）を得る多項式近似と特性方程式変換を組み合せた方法を新たに確立したことから今までの研究成果を加えこれらを集め大成した適応形PSSシステムを構築したので報告する。

## 2. 適応形PSSのシステム構成

電力系統の事故時に発電機の動搖を自動検出し、その動搖特性に基づきPSS制御を行ない発電機の安定度を維持させる適応形PSSのシステム機能としては発電機の動搖波形を自動検出し、PSSを設計・制御するまでの時間は極力、短いことが要求される。一方、長周期動搖を検出するには所要の時間が掛かるので、この双方を考慮し、システムとしては動搖波形の半波でモデリングが可能な検出手法を採用することとした。その適応形PSSのシステム構成は図1に示すとおり、①の発電機動搖波形の自動検出部、②の動搖モードを実現する系統モデル部、③の固有値法による適応形PSSの設計部、④の適応形PSSの検証解析部の4つで構成される。システム構成の各部の具体的機能については3章以降で述べる。

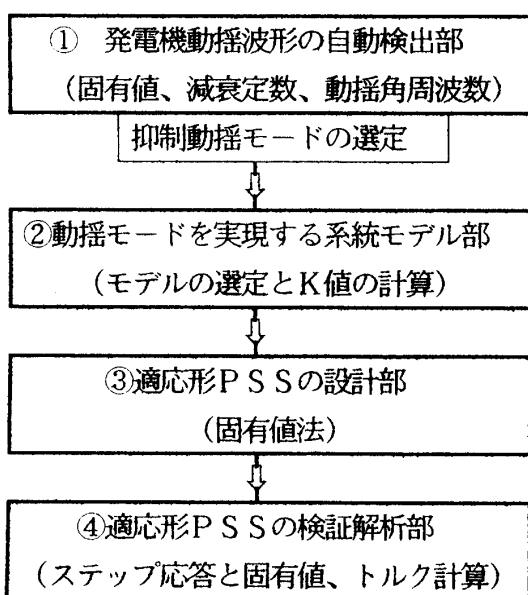


図1 適応形PSSのシステム構成

Fig. 1. System structure of new adaptivePSS 図2に示すとおりで

(1) 電力系統で発生した時間領域の短時間(2秒程度)の動搖波形を多項式近似法により時間関数の多項式に近似し、原波形に一致するようパラメータを設定する(図2①)。パラメータとしては時間波形のサンプリング間隔、多項式次数があり精度よい近似には、この最適設定が必要となる。

(2) 近似多項式をラプラス変換し、零極形特性方程式を作り、その特性方程式の時間領域応答が精度良く、原波形に一致することを確認する(図2②)。

(3) Steiglitz-McBride反復法で零極形特性方程式を分数形に変換するとともに、かつ、その分数形

## 3. 電力系統の動搖波形の自動検出方式

電力系統で発生した動搖波形を自動検出し、その固有値を制御面から許される短時間で精度よく実現するモデリング手法として多項式近似とSteiglitz-McBride 反復法<sup>(1)</sup>による特性方程式変換を組み合せた方法を確立したので述べる。

<3.1> モデリング手法と手順 <1> モデリング手法の考え方：電力系統で発生した時間領域の電力動搖モードを制御面で許される短時間で時間変数の多項式に近似し、それをラプラス変換し零極形特性方程式に変換した後、Steiglitz-McBride 反復法で分数形に変換し、適応形PSS設計に必要な動搖モードの固有値、減衰定数、動搖角周波数を求める。

<2> モデリングの手順；モデリングの具体的手順は

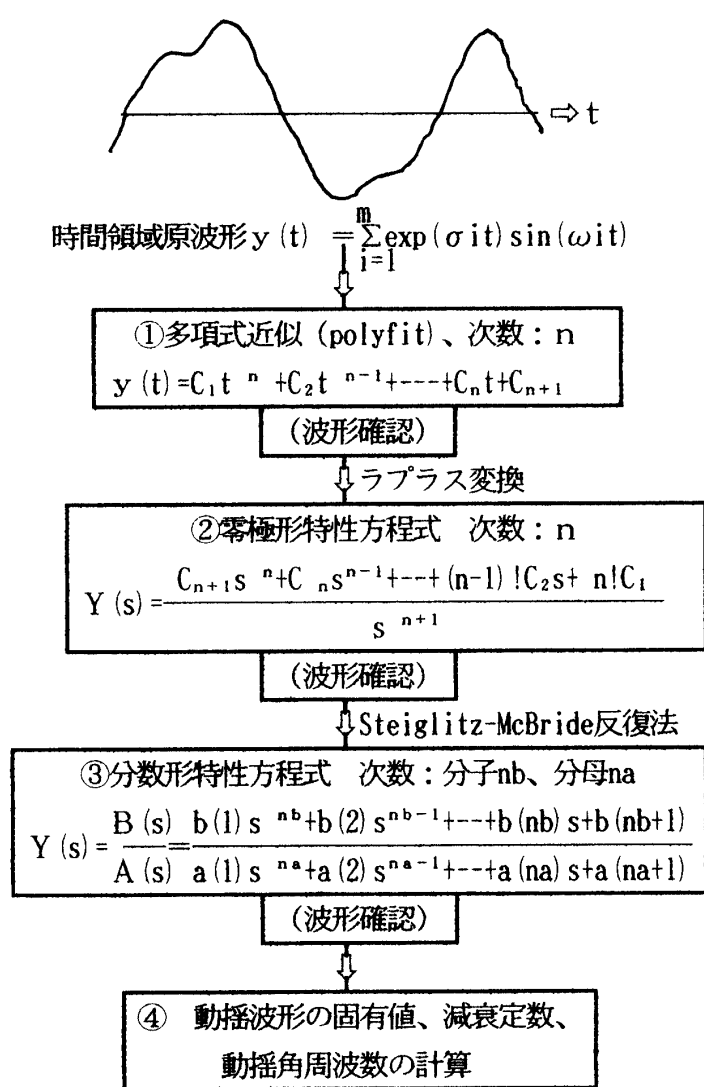


図2 動搖波形を実現するモデリング手順

Fig. 2. Procedure of waveform modeling

- $y(t) = \exp(-0.5*t) \sin(2\pi t/2) + \exp(-1.0*t) \sin(2\pi t/1) + \exp(0.5*t) \sin(2\pi t/4)$
- (2) サンプル時間: 2秒間 (この時間設定は長周期動搖検出に時間を要し、これを短縮するため半波の時間でモデリングを可能とし、かつ我が国の長周期動搖モードの最大周期が4秒程度から定めた)
  - (3) パラメータ: 多項式次数、サンプリング時間間隔、分数形特性方程式次数、特性方程式変換法
- <2> 解析結果 (1) Case-1の2モード波形の場合: ①近似多項式次数の変化; 次数変化時の最終モデリングの誤差(二乗)結果が表1(a)で、最小値はn=25のときである。
- ②サンプリング時間間隔の変化; 結果が表1(b)で、最小誤差は $\Delta t = 0.05s$ のときである。
- ③分数形特性方程式の次数変化; 結果が表1(c)で、最小誤差は $b(n)/a(n) = 9/10$ のときである。
- ④特性方程式変換法の種類; 同機能のSteiglitz-McBride法とProny法の結果が表1(d)で前者は後者の約1/3の誤差である。

以上から2モード波形の場合のモデリング精度は多項式次数n=25、サンプル間隔 $\Delta t=0.05s$ 、分数形特性方程式次数 $b(n)/a(n) = 9/10$ のときが最も良いことが分かる。このときの原波形とモデリング波形の時間領域波形を図3(a)に、固有値を表2に示すが、共に原波形を精度よくモデリングしている。

特性方程式の時間領域応答が精度良く、原波形に一致するよう総合的にパラメータを設定する(図2③)。

この際の総合的なパラメータとしては波形のサンプリング間隔、多項式次数及び分数形特性方程式次数があり零極形特性方程式を分数形とするためにはこのパラメータの最適設定が必要となる。特に、Steiglitz-McBride反復法の特性方程式の次数設定が不適切であると分数形特性方程式に変換できないので注意を要する。(4)(3)で波形の同定が終了すれば分数形特性方程式の極より固有値、減衰定数、動搖角周波数を求める(図2④)。

前記により時間領域の動搖モードの固有値、減衰定数、動搖角周波数が得られ適応形PSSの設計に反映できる。

### <3.2> 動搖波形のモデリング結果

前節のモデリング手法による動搖波形の実証結果について述べる。

#### <1> 解析条件: (1) 原波形:

a. Case-1 2モードの動搖波形

$$y(t) = \exp(-0.5*t) \sin(2\pi t/2) + \exp(-1.0*t) \sin(2\pi t/1)$$

b. Case-2 3モードの動搖波形

④ 動搖波形の固有値、減衰定数、動搖角周波数の計算

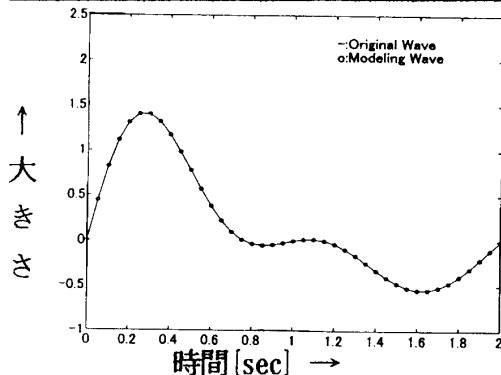
また、Steiglitz-McBride法とProny法では前者の方がモデリング誤差が少なく優れていた。

表1 モデリングのパラメータ変化時の解析結果 (Case-1)

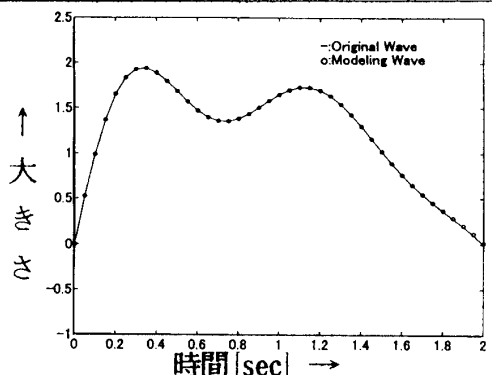
Table1. Analysis results to parameters change of modeling (Case-1)

次数n	(a) 多項式近似次数の変化			(b) サンプリング時間間隔の変化			
	20	25	30	$\Delta t$	0.04	0.05	0.06
誤差 (二乗)	$0.52 \times 10^{-4}$	$0.11 \times 10^{-10}$	$0.55 \times 10^{-8}$	誤差	$0.50 \times 10^{-9}$	$0.11 \times 10^{-10}$	$0.57 \times 10^{-9}$

$b(n)/a(n)$ 次数	(c) 分数形特性方程式の次数変化			(d) 特性方程式変換法の種類		
	8/9	9/10	10/11	変換法	Steiglitz-McBride法	Prony法
誤差	$8.48 \times 10^3$	$0.11 \times 10^{-10}$	$8.48 \times 10^3$	誤差	$0.11 \times 10^{-10}$	$0.28 \times 10^{-10}$



(a) 2モード波形の場合 (Case-1)



(b) 3モード波形の場合 (Case-2)

図3 原波形とモデリング波形の比較

Fig. 3. Comparison of original and modeling waveforms

表2 モデリング波形の固有値 (Case-1)  
Table2. Eigen values of modeling waveform (Case-1)

モデリング	$-0.500 \pm j3.142$ , $-1.000 \pm j6.283$
原波形	$-0.500 \pm j3.142$ , $-1.000 \pm j6.283$

(2) Case-2 3モード波形の場合; その結

果が表3で、この場合の精度はモード数が1つ増えたこともあり低下するがCase-1と同様、多項式次数n=25, サンプリング時間間隔 $\Delta t=0.05$ s, 分数形特性方程式次数

$b(n)/a(n)=9/10$ のときが最も良い。その時の時間領域の原波形とモデリング波形を図3(b)に、また固有値を表4に示すが動搖波形の半波のサンプリング時間で原波形を精度よくモデリングしている。

表3 モデリングのパラメータ変化時の解析結果 (Case-2)

Table3. Analysis results to parameters change of modeling (Case-2)

次数n	(a) 多項式近似次数の変化			(b) サンプリング時間間隔の変化			
	20	25	30	$\Delta t$	0.04	0.05	0.06
誤差 (二乗)	$4.15 \times 10^{-1}$	$5.59 \times 10^{-4}$	$2.92 \times 10^{-1}$	誤差	$6.26 \times 10^{-1}$	$5.59 \times 10^{-4}$	$1.37 \times 10^{-2}$

$b(n)/a(n)$ 次数	(c) 分数形特性方程式の次数変化		表4 モデリング波形の固有値 (Case-2) Table4. Eigen values of modeling waveform (Case-2)	
	8/9, 10/11	9/10	モデリング	原波形
誤差	$1.28 \times 10^2$	$5.59 \times 10^{-4}$	$0.445 \pm j1.582$ , $-0.486 \pm j3.180$ , $-1.000 \pm j6.283$	$0.500 \pm j1.571$ , $-0.500 \pm j3.142$ , $-1.000 \pm j6.283$

以上により電力系統で発生する動搖波形を半波の短時間サンプリングでモデリングする手法を確立することができた。この検出方法を適応形PSSの自動検出部に適用した上で重要なPSSの抑制対

象動揺モードの選定は振動性で減衰が最も悪い動揺モードを抽出することとした。

#### 4. 動揺モードを実現する系統モデル

3章で得られた抑制動揺モードを実現する系統モデルはモードの特性により異なり、それに合致する系統モデルの選択が必要となる。そこで、動揺の特性として周期に注目し、周期の短いローカル動揺モードと周期の長い長周期動揺モードの2つに分け、これを動揺モードを実現する系統モデルとしては図4(a), (b)のような系統モデルを採用した。つまり

(1) ローカル動揺モードを実現する一機無限大母線系統

(2) 長周期動揺モードを実現する一機中間負荷系統

の各モデルを用いることとした。次に2つの系統モデルの選別方法は動揺周期Tが設定値T<sub>0</sub>(1.5秒程度)より小さい場合は前者を大きい場合は後者を採用することとした。周期Tの動揺モードの実

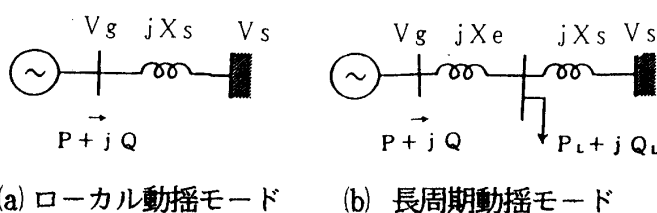
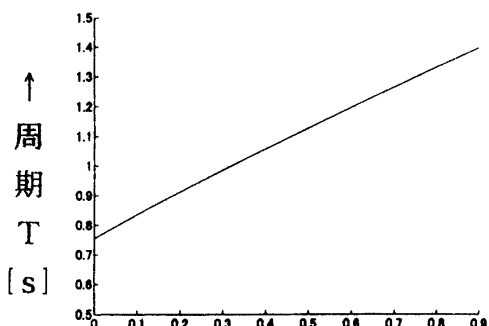


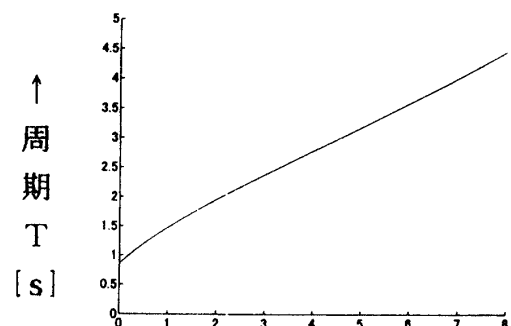
図4 動揺モードを実現する系統モデル

Fig. 4. System model of power system oscillation

DeMello-Concordia 動態ブロック図モデルのK値を計算し、最終的な系統モデルを構成する。



外部リアクタンスXs [p. u.] →  
(a) ローカル動揺モード



外部リアクタンスXs [p. u.] →  
(b) 長周期動揺モード

図5 動揺周期Tと外部リアクタンスXs の関係図

Fig. 5. Diagram of period T vs system reactance Xs

#### 5. 適応形PSSの設計手法と検証方法

<5.1>適応形PSSの設計手法 3,4章で選定した対象動揺抑制モードの固有値とそれを実現する系統モデルを用いた動揺モードを抑制する適応形PSS設計の固有値法の具体的な設計手順は次の通り。

手順①：3章で検出した動揺抑制対象モードの固有値  $s = \sigma + j\omega$  から系統モデルのK値を計算する。

手順②：AVRの伝達関数を  $G_a(s)$  として AVRと界磁回路の伝達関数  $G_e(s)$  の位相遅れ  $\angle G_e$  は

$$G_e(\sigma + j\omega) = \frac{G_a(\sigma + j\omega) K_3}{(1 + (\sigma + j\omega) T_{d0} K_3) + G_a(\sigma + j\omega) K_3 K_6} \dots (1) \quad \therefore \angle G_e = \tan^{-1}(\text{imag}(G_e) / \text{real}(G_e)) \dots (2)$$

手順③：検出が発電機の電気出力であるから設計PSSは△P形となり、このPSSでは $M_s + D_o = G_m(s)$ とおけば $-\Delta T_e = G_m(s) \Delta \omega$ の関係があるから、AVRと界磁回路の電気系ループの位相遅れ $\angle G_e$ と発電機慣性系の進み位相 $\angle G_m$ を補償するPSSの位相補償角 $\angle G_c$ を求める。いま、PSSの位相補償関数 $G_c(s)$ を $sTp / (1+sTp) (1+sTp1) / (1+sTp2)$ とすれば制動トルクは $\Delta \omega$ と同位相成分であるので $\angle G_e + \angle G_c + \angle G_m = 0$ とすればよい。故にPSSの位相補償角 $\angle G_c$ は次式となる。

$$\angle G_c = \angle \frac{sTp}{(1+sTp)} \cdot \frac{(1+sTp1)}{(1+sTp2)} = -\angle G_e - \angle G_m \quad \dots \dots \dots \quad (3) \quad \text{ただし、} \quad Tp1 < Tp2$$

(3)式でPSSの進み時定数Tp1を固定設定(0.05~0.2s)とすれば、求める遅れ補償回路の位相角 $\angle (1+sTp2) = \phi_2$ は $\phi_2 = \phi_e + \phi_{pr} - \phi_p + \phi_l + \phi_m$ である。この式で $\phi_e$ は(2)式で、 $\phi_{pr}$ ,  $\phi_p$ ,  $\phi_l$ ,  $\phi_m$ はそれぞれ $\phi_{pr} = \tan^{-1}(\omega/\sigma)$ ,  $\phi_p = \tan^{-1}(\omega Tp / (1+\sigma Tp))$ ,  $\phi_l = \tan^{-1}(\omega Tp1 / (1+\sigma Tp1))$ ,  $\phi_m = \tan^{-1}(\omega M / (\sigma M + D_o))$ で、求める遅れ時定数Tp2は $\tan \phi_2 = \omega Tp2 / (1+\sigma Tp2)$ から次式となる。

$$Tp2 = \frac{\tan \phi_2}{\omega - \sigma \tan \phi_2} = \frac{\tan(\phi_e + \phi_{pr} - \phi_p + \phi_l + \phi_m)}{\omega - \sigma \tan(\phi_e + \phi_{pr} - \phi_p + \phi_l + \phi_m)} \quad \dots \dots \dots \quad (4)$$

手順④：動搖を抑制する所要の減衰定数 $\zeta$ からPSSのゲイン $K_c$ を求める。振動系の減衰定数 $\zeta$ と制動トルク $D_e$ の関係はMを単位慣性定数、 $\omega_n$ を動搖角周波数とすれば制御理論から次式となる。

$$D_e = 2 \zeta \omega_n M \quad \dots \dots \dots \quad (5) \quad D_e = K_c K_2 | G_c(s') \| G_e(s') \| G_m(s') | \quad \dots \dots \dots \quad (6)$$

ただし、 $\omega_n = \text{abs}(s') = \sqrt{\sigma'^2 + \omega'^2}$  ( $s'$  : PSS設置後の予想固有値)

よつて、求めるPSSのゲイン $K_c$ は(5) = (6)から

$$K_c = \frac{2 \zeta \omega_n M}{K_c K_2 | G_c(s') \| G_e(s') \| G_m(s') |} \quad \dots \dots \dots \quad (7)$$

以上が適応形PSSの設計法(固有値法)で、PSS設計に際して減衰定数 $\zeta$ は0.1~0.3で選択。

**<5.2>適応形PSSの検証方法** 前節で設計した適応形PSSの制御定数の動搖抑制効果が所定の値となっているかをPSS有無でのステップ応答(発電機入力トルク変化)、固有値、減衰定数、動搖角周波数、制動トルク及び同期化トルクで検証する。

## 6. 適応形PSSの動作シミュレーション

**<6.1>動作解析条件** <1>解析ケース；A. ローカル動搖モード、B. 長周期動搖モード(ケースAは系統内で発生する周期の短い動搖モードで1機無限大母線系統モデルを用いPSSを設計するケースで周期を1秒に設定、ケースBは連系系統間で発生する周期の長い動搖モードで1機中間負荷システムモデルを用いPSSを設計するケースで周期を3秒に設定)

<2> 発電機・系統定数と運転状態；表5(東京電力今市1号機)、表6

<3> 供試動搖波形；表5の発電機のインパルス応答(入力トルク変化)時の発電機電気出力

<4> PSS設計条件；減衰定数 $\zeta=0.3$ 、シグナルリセット定数Tp=3s、進み補償時定数Tp1=0.05s

表5 発電機定数と運転状態

Table 5. Parameters of generator

定数	P [MVA], M, Xd, Xd', Xq, Xq', Tdo, Tdo', Tqo'
	390, 10, 1, 14, 0.25, 0.78, 0.15, 11, 2, 0.10, 0.35
A V R	ゲインKa=50, 時定数Ta=0.05(一次遅れ)
運転状態	Pg=0.897 [pu], Qg=0.15 [pu], Vg=1.00 [pu]

〔単位〕リアクタンス p.u., 慣性・時定数 s

表6 系統定数と負荷状態

Table 6. Parameters of power system

ケース	Xs	Xe	Vs	P <sub>L</sub>	Q <sub>L</sub>
A	0.320	—	0.994	—	—
B	4.556	0.126	0.782	0.897	0.000

〔単位〕p.u.

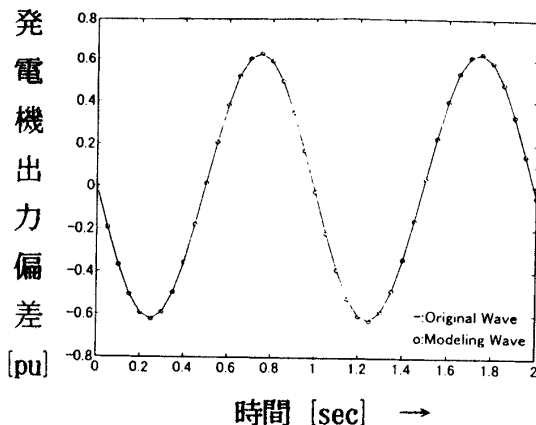
<6.2>動作シミュレーション結果 <1>発電機動揺波形の自動検出：両ケースの動揺波形のモデリング結果が図6 (a), (b) で、この波形の固有値、減衰定数および動揺角周波数 ( $\omega_n$ ) が表7で、動揺波形が精度良く同定されている。抑制動揺モードとしては表7で振動性で減衰が最も悪い固有値（ローカル動揺、長周期動揺とも①番）を選定する。

<2>抑制動揺モードを実現する系統モデル；表7より選定した動揺モードから動揺周期  $T = 2\pi/\omega_n$  を求めると、ケースAは  $T=1.00$ sとなりローカル動揺で一機無限大母線系統を、ケースBは  $T=3.01$ sとなり長周期動揺で一機中間負荷系統の各モデルを選別し、それぞれのK値を計算する。

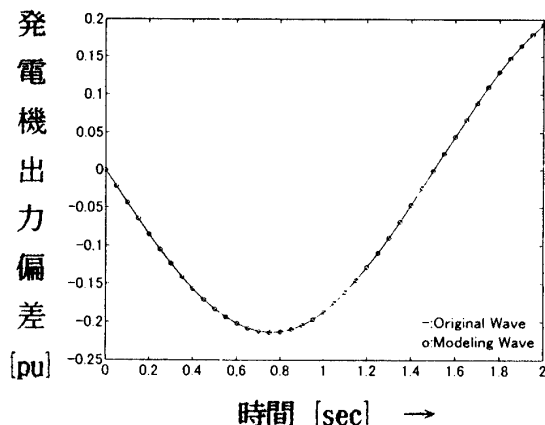
<3>適応形PSSの設計；抑制動揺モードの固有値と系統モデルから設計したPSS制御定数

$$\text{a. ケース A } G(s) = \frac{0.514 \times 3s}{1+3s} \cdot \frac{1+0.05s}{1+0.071s}$$

$$\text{b. ケース B } G(s) = \frac{1.52 \times 3s}{1+3s} \cdot \frac{1+0.05s}{1+2.35s} \quad (8)$$



(a) ケースA (ローカルモードの動揺波形)



(b) ケースB (長周期モードの動揺波形)

図6 自動検出したモデリング波形

Fig. 6. Automatic parametric modeling waveforms

表7 動揺モードの特性定数

Table 7. Eigen values of modeling waveform [注] \_\_\_\_ 抑制対象モード

ケース	固有値 ( $\sigma+j\omega$ )	減衰定数 $\zeta$	$\omega_n$
A	①0.0113 ± j6.28	-0.0018	6.28
	②-7.60 ± j15.00	0.452	16.8
	③-12.10 ± j10.10	0.768	15.7
	④-14.00 ± j4.75	0.947	14.8
	⑤-2.78, ⑥-14.1	—	—

ケース	固有値 ( $\sigma+j\omega$ )	減衰定数 $\zeta$	$\omega_n$
B	①0.039 ± j2.09	-0.0187	2.09
	②-7.20 ± j15.2	0.429	16.8
	③-11.4 ± j10.1	0.749	15.2
	④-12.8 ± j4.50	0.944	13.6
	⑤-6.56, ⑥-12.2	—	—

<4>適応形PSSの検証解析；適応形PSSで設計した制御定数の(8)式を用いたステップ応答が図7 (a), (b) である。同図からPSSの制御開始時間はローカル動揺が検出後2.11s(波形サンプリング

2s+PSS設計時間0.11s)で、長周期動搖が2.17s となっており、その時間以降、速やかに動搖を抑制しており十分な効果が確認できる。また、そのときの動搖モードの特性定数(固有値など)と制動トルクの値が表8で、PSSによる増分の減衰定数は0.3程度で、制動トルクも実系統で使用しているローカル動搖で30p.u.以上、長周期動搖で10p.u.程度を満たしており、妥当な設計結果といえる。

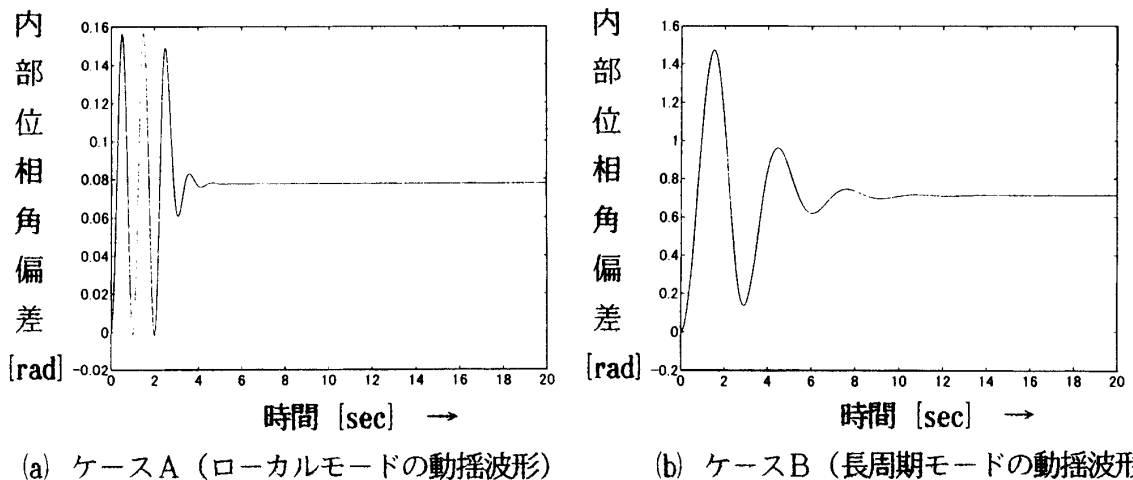


図7 適応形PSS設計後のステップ応答

Fig. 7. Step responce with new adaptive PSS design

表8 PSS設計後の動搖モード特性定数、制動トルク

Table 8. Eigen values and Damping torques with new adaptive PSS design

ケース	固有値( $\sigma+j\omega$ )	減衰定数 $\zeta$	$\omega_n$ [rad/s]	制動トルク(同期化トルク $T_s$ )[p.u.]
A	$-1.88 \pm j6.00$	0.299	6.29	37.7 ( $T_s=1.033$ ) { 設計前 -0.234 ( $T_s=1.255$ ) }
B	$-0.57 \pm j2.02$	0.271	2.09	10.9 ( $T_s=0.119$ ) { 設計前 -0.757 ( $T_s=0.139$ ) }

## 7. あとがき

(1) 電力系統で発生した電力動搖波形を系統制御面で許される短い時間(2秒程度)で自動検出し、モデルリングする手法として多項式近似と特性方程式変換の組み合せ方式を提案し、この検出手法で2モードと3モードの時間領域波形をモデルングしたところ動搖波形の半波のサンプリング時間で精度良く同定可能な結果を得られ同手法を検証することができた。

(2) 上記の自動検出機能を適応形PSSに組みオンラインで発電機動搖を自動検出し動搖特性を求め減衰の悪い動搖モードを選定し、それを実現する系統モデルから設計を行うシステムを構築できた。

(3) 構築した適応形PSSシステムを用い周期の短いローカル動搖モード(1秒)と周期の長い長周期動搖モード(3秒)の動作シミュレーションを行ったところ動搖波形の検出とPSS設計の経過時間以降、短時間に制御が開始され対象動搖モードを速やかに抑制していることが確認できた。

今後は多機系統での抑制効果の検証を行い、実系統への適用性の評価を含め進めることとしたい。

## 文 献

- (1) Steiglitz, K. and L. E. McBride, "A Technique for the Identification of Linear Systems", IEEE Transaction Automatic Control, Vol. AC-10 (1965), Psg. 461-464.
- (2) 道上勉、林邦薈、日吉栄、岡本高志:「電力系統動搖波形の自動検出方式による適応形PSSシステムの構築について」;電学B論文誌 Vol 120-B, No. 1 (2000), p1542-1549.

(平成12年10月18日受理)